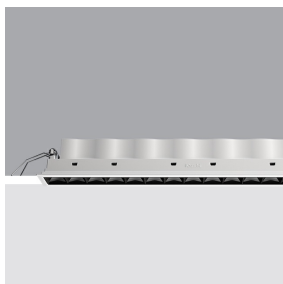


Última actualización de la información: Marzo 2025

Configuraciones productos: MK57.47

MK57.47: Empotrable de 15 celdas - LED - Warm white - Flood - Blanco / Negro



Código producto

MK57.47: Empotrable de 15 celdas - LED - Warm white - Flood - Blanco / Negro

Descripción

equipo miniaturizado empotrable rectangular con 15 elementos ópticos y fuentes LED - ópticas fijas - apertura flood. Cuerpo principal con superficie radiante de aluminio fundido a presión, versión con marco perimetral de tope. Ópticas de alta definición de termoplástico metalizado, integradas en posición retrasada en la pantalla antideslumbrante negra; la composición de la estructura del sistema óptico evita el efecto puntiforme, permite obtener una distribución lumínica definida y circular y genera una emisión con destello controlado. Incluye grupo de alimentación electrónico dimerizable DALI conectado a la luminaria. LED blanco warm.

Instalación

empotrable con muelles de acero para falso techo de 1 a 25 mm - ranura de preparación 37 x 406

Colores

Blanco/Negro (47)

Peso (Kg)

0.86

Montaje

empotrable en la pared|empotrable en el techo

Equipo

en caja de alimentación con conexiones rápidas

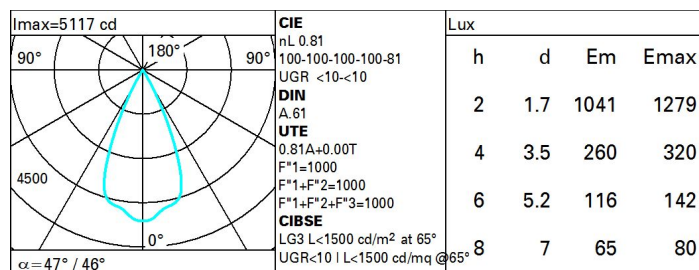
Se conforma con EN60598-1 y regulaciones pertinentes



Datos técnicos

| | | | |
|---|-----------|--------------------------------------|---------------------------------|
| Im de sistema: | 2673 | CRI (típico): | 92 |
| W de sistema: | 33.5 | Temperatura de color [K]: | 3000 |
| Im de la fuente: | 3300 | MacAdam Step: | 3 |
| W de la fuente: | 30 | Life time (vida útil) LED 1: | > 50,000h - L90 - B10 (Ta 25°C) |
| Eficiencia luminosa (lm/W, valor del sistema): | 79.8 | Código de lámpara: | LED |
| Im en modo emergencia: | - | Número de lámparas por grupo óptico: | 1 |
| Flujo total de emisión en un ángulo de 90° o superior [Lm]: | 0 | Código ZVEI: | LED |
| Light Output Ratio (L.O.R.) [%]: | 81 | Número de grupos ópticos: | 1 |
| Ángulo de apertura del haz de luz [°]: | 47° / 46° | Control: | DALI-2 |
| CRI (mínimo): | 90 | | |

Polar



Coefficientes de uso

| R | 77 | 75 | 73 | 71 | 55 | 53 | 33 | 00 | DRR |
|------|----|----|----|----|----|----|----|----|-----|
| K0.8 | 73 | 70 | 67 | 65 | 69 | 66 | 66 | 64 | 78 |
| 1.0 | 76 | 73 | 71 | 69 | 72 | 70 | 70 | 67 | 83 |
| 1.5 | 80 | 78 | 76 | 74 | 77 | 75 | 74 | 72 | 89 |
| 2.0 | 83 | 81 | 79 | 78 | 80 | 78 | 78 | 75 | 93 |
| 2.5 | 84 | 83 | 82 | 81 | 82 | 81 | 80 | 78 | 96 |
| 3.0 | 85 | 84 | 83 | 83 | 83 | 82 | 81 | 79 | 98 |
| 4.0 | 86 | 85 | 85 | 84 | 84 | 84 | 82 | 81 | 99 |
| 5.0 | 87 | 86 | 86 | 86 | 85 | 84 | 83 | 81 | 100 |

Diagrama UGR

| Corrected UGR values (at 3300 lm bare lamp luminous flux) | | | | | | | | | | | |
|---|-----|------------------|------|---------|------|------|----------------|------|---------|------|------|
| Reflect.: | | viewed crosswise | | | | | viewed endwise | | | | |
| ceiling/cav | | 0.70 | 0.70 | 0.50 | 0.50 | 0.30 | 0.70 | 0.70 | 0.50 | 0.50 | 0.30 |
| walls | | 0.50 | 0.30 | 0.50 | 0.30 | 0.30 | 0.50 | 0.30 | 0.50 | 0.30 | 0.30 |
| work pl. | | 0.20 | 0.20 | 0.20 | 0.20 | 0.20 | 0.20 | 0.20 | 0.20 | 0.20 | 0.20 |
| Room dim | | | | | | | | | | | |
| x | y | | | | | | | | | | |
| 2H | 2H | 0.7 | 1.2 | 1.0 | 1.4 | 1.6 | 0.7 | 1.2 | 1.0 | 1.4 | 1.6 |
| | 3H | 0.6 | 1.0 | 0.9 | 1.3 | 1.6 | 0.6 | 1.0 | 0.9 | 1.3 | 1.6 |
| | 4H | 0.5 | 0.9 | 0.8 | 1.2 | 1.5 | 0.5 | 0.9 | 0.8 | 1.2 | 1.5 |
| | 6H | 0.4 | 0.8 | 0.8 | 1.1 | 1.4 | 0.4 | 0.8 | 0.8 | 1.1 | 1.4 |
| | 8H | 0.4 | 0.8 | 0.8 | 1.1 | 1.4 | 0.4 | 0.8 | 0.8 | 1.1 | 1.4 |
| | 12H | 0.4 | 0.7 | 0.7 | 1.0 | 1.4 | 0.4 | 0.7 | 0.7 | 1.0 | 1.4 |
| 4H | 2H | 0.5 | 0.9 | 0.8 | 1.2 | 1.5 | 0.5 | 0.9 | 0.8 | 1.2 | 1.5 |
| | 3H | 0.4 | 0.7 | 0.7 | 1.0 | 1.4 | 0.4 | 0.7 | 0.7 | 1.0 | 1.4 |
| | 4H | 0.3 | 0.6 | 0.7 | 0.9 | 1.3 | 0.3 | 0.6 | 0.7 | 0.9 | 1.3 |
| | 6H | 0.2 | 0.5 | 0.6 | 0.8 | 1.3 | 0.2 | 0.5 | 0.6 | 0.8 | 1.3 |
| | 8H | 0.1 | 0.4 | 0.6 | 0.8 | 1.2 | 0.1 | 0.4 | 0.6 | 0.8 | 1.2 |
| | 12H | 0.1 | 0.3 | 0.5 | 0.7 | 1.2 | 0.1 | 0.3 | 0.5 | 0.7 | 1.2 |
| 8H | 4H | 0.1 | 0.4 | 0.6 | 0.8 | 1.2 | 0.1 | 0.4 | 0.6 | 0.8 | 1.2 |
| | 6H | 0.0 | 0.2 | 0.5 | 0.7 | 1.2 | 0.0 | 0.2 | 0.5 | 0.7 | 1.2 |
| | 8H | -0.0 | 0.2 | 0.5 | 0.6 | 1.1 | -0.0 | 0.2 | 0.5 | 0.6 | 1.1 |
| | 12H | -0.1 | 0.1 | 0.4 | 0.6 | 1.1 | -0.1 | 0.1 | 0.4 | 0.6 | 1.1 |
| 12H | 4H | 0.1 | 0.3 | 0.5 | 0.7 | 1.2 | 0.1 | 0.3 | 0.5 | 0.7 | 1.2 |
| | 6H | -0.0 | 0.2 | 0.5 | 0.6 | 1.1 | -0.0 | 0.2 | 0.5 | 0.6 | 1.1 |
| | 8H | -0.1 | 0.1 | 0.4 | 0.6 | 1.1 | -0.1 | 0.1 | 0.4 | 0.6 | 1.1 |
| Variations with the observer position at spacing: | | | | | | | | | | | |
| S = | | 1.0H | 0.8 | / -21.9 | | | | 6.8 | / -21.9 | | |
| | | 1.5H | 9.7 | / -22.0 | | | | 9.7 | / -22.0 | | |
| | | 2.0H | 11.7 | / -22.2 | | | | 11.7 | / -22.2 | | |